

UADE

Universidad Argentina de la Empresa

FACULTAD DE INGENIERÍA Y CIENCIAS EXACTAS

Trabajo práctico Obligatorio

MODELADO Y CONSTRUCCIÓN DE UN SISTEMA DE CONTROL

Autores:

Aguirre, Emanuel
Fernandez, Gonzalo
Portugal Rios, Julian
Russo, Pablo

2021

Contenidos

1	Introducción	2
2	Sistema	3
3	Modelado del sistema	4
4	Representación en MatLab	8
5	Diseño del sistema de control de velocidad de un motor CC	9
6	Anexos	13

1 Introducción

Como soporte para el trabajo final de ingeniería "REINGENIERÍA DE UN SISTEMA DE RESCATE DE PERSONAS EN AMBIENTES ACUÁTICOS PARA EMBARCACIONES (Aguirre, Russo)", se diseñará un sistema capaz de ser utilizado en el ensayo de las turbinas diseñadas y construidas como parte del mencionado trabajo.

El algoritmo de control será responsable de recibir un valor de velocidad angular (ω_0 [RPM]) almacenado en memoria del MCU, comenzará el giro del motor desde un duty cycle del 0% para la señal de control modulada por ancho de pulsos, acelerando el motor hasta la velocidad fijada. Luego de un cierto tiempo t se actualizará la velocidad objetivo, y el sistema deberá actualizar el ciclo de trabajo hasta un cierto valor.

Mediante el uso de los conocimientos adquiridos en el curso de Instrumentación y Control, se pretende:

- Pre-fijar en el sistema de control una serie de valores de velocidad angular en RPM.
- Implementar la medición del parámetro: Velocidad Angular Medida $[\omega_m]$
-

2 Sistema

Se dispone de un motor 775-24v, de escobillas, el cual posee un rotor, que será nuestra planta y su velocidad la variable a controlar. A continuación se mostrará el motor, con sus medidas respectivas:

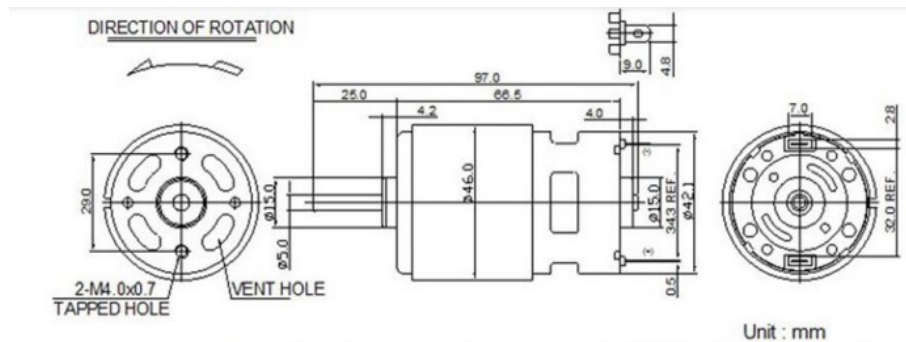


Figure 1: Esquema del motor CC

Se dibujo en SolidWorks un rotor similar al original para calcular el peso y el momento de inercia del mismo. Se obtuvieron los siguientes datos:

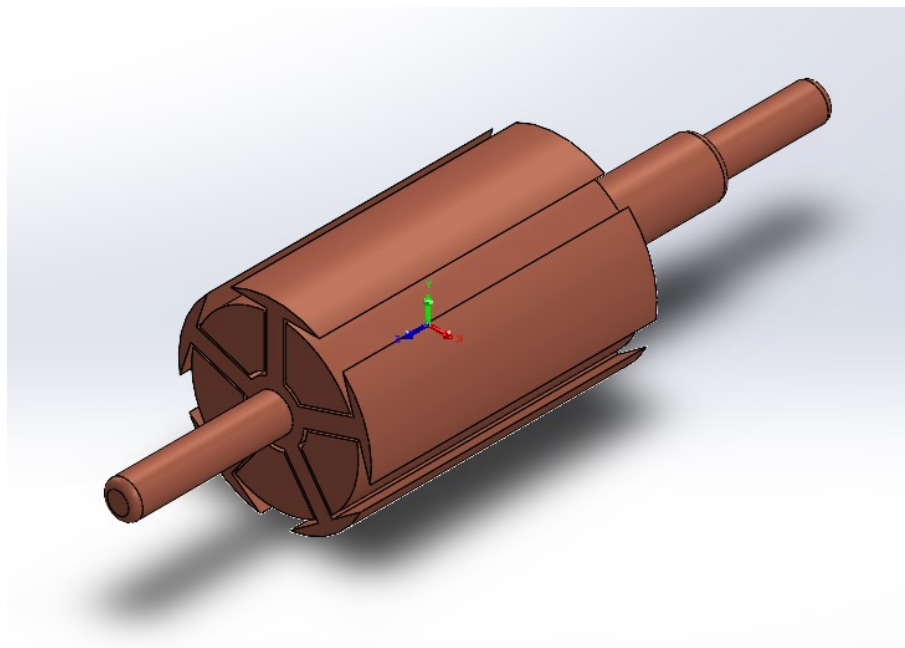


Figure 2: Rotor del motor CC

Propiedades de masa de rotor abad

Configuración: Predeterminado

Sistema de coordenadas: -- predeterminado --

Densidad = 8900.00000000 kilogramos por metro cúbico

Masa = 0.18142007 kilogramos

Volumen = 0.00002038 metros cúbicos

Área de superficie = 0.01615723 metros cuadrados

Centro de masa: (metros)

X = 0.00000000

Y = 0.00000000

Z = 0.05444967

Ejes principales de inercia y momentos principales de inercia: (kilogramos * metros cuadrados)

Medido desde el centro de masa.

lx = (0.00000000, 0.00000000, 1.00000000) Px = 0.00001382

ly = (0.00000000, -1.00000000, 0.00000000) Py = 0.00004710

lz = (1.00000000, 0.00000000, 0.00000000) Pz = 0.00004710

Momentos de inercia: (kilogramos * metros cuadrados)

Obtenidos en el centro de masa y alineados con el sistema de coordenadas de resultados.

Lxx = 0.00004710 Lxy = 0.00000000 Lxz = 0.00000000

Lyx = 0.00000000 Lyy = 0.00004710 Lyz = 0.00000000

Lzx = 0.00000000 Lzy = 0.00000000 Lzz = 0.00001382

Momentos de inercia: (kilogramos * metros cuadrados)

Medido desde el sistema de coordenadas de salida.

lxx = 0.00058497 lxy = 0.00000000 lxz = 0.00000000

lyx = 0.00000000 lyy = 0.00058497 lyz = 0.00000000

lzx = 0.00000000 lzy = 0.00000000 lzz = 0.00001382

Figure 3: Datos obtenidos en SolidWorks

3 Modelado del sistema

A continuación se presentará un circuito equivalente del sistema a partir del cual se calcularán las variables, con el fin de obtener la función de transferencia del sistema. El circuito eléctrico de armadura y el diagrama mecánico rotacional se muestran a continuación:

Donde los parámetros de mis sistema son:

- Momento de inercia (J)= 0.00005 kg.m^2
- Coeficiente de roce (b)= $1.5319e - 4 \text{ N.m.s}$
- Constante de fuerza electromotriz (K=Ke=Kt)= 0.0034 N.m/A
- Resistencia de Armadura (R)= 0.0710 Ohm
- Inductancia de armadura (L)= 0.0127 H
- Tensión de entrada (Ea=V)= Fuente de Tensión
- Tensión del rotor (Eb=e)
- Posición del eje= θ

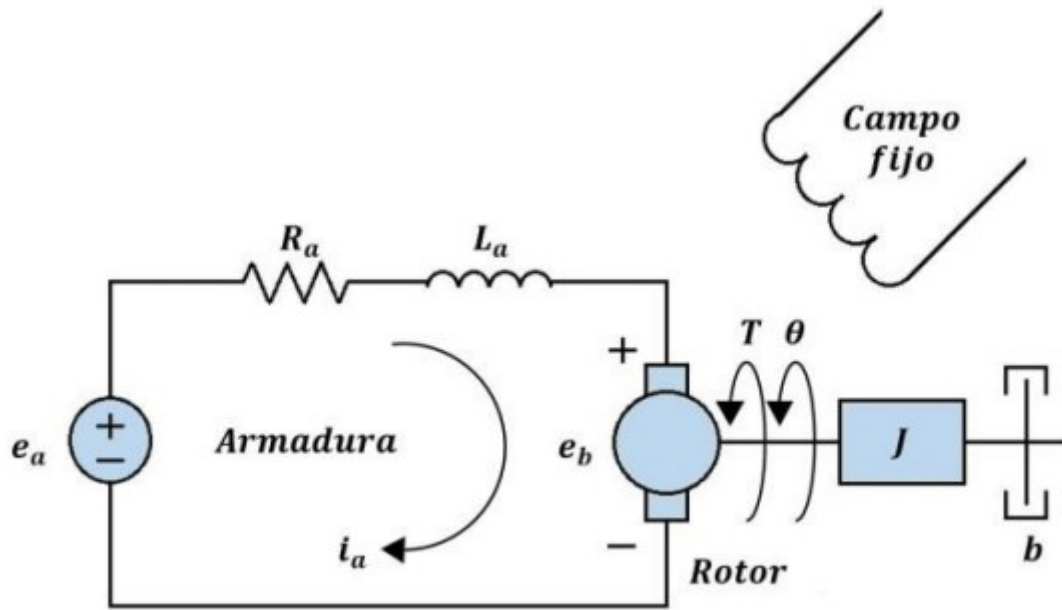


Figure 4: Circuito equivalente de una motor DC

El circuito equivalente del motor se puede descomponer en dos partes, una parte mecánica y otra eléctrica, resultando en las siguientes ecuaciones:

- **Parte Eléctrica**

$$e = k_e \dot{\theta}(t) \quad (1)$$

$$v(t) = Ri + L \frac{di}{dt} + e \quad (2)$$

Reemplazado la ecuación 1 en la ecuación 2 se obtiene:

$$v(t) = Ri + L \frac{di}{dt} + k_e \dot{\theta}(t) \quad (3)$$

Aplicando Laplace a 3:

$$V(s) = RI + LI s + k_e \Theta(s) s \quad (4)$$

$$V(s) = I(R + Ls) + k_e \Theta(s) s \quad (5)$$

$$V(s) = I(R + Ls) + k_e \Theta(s)s \quad (6)$$

$$I = \frac{V(s) - K_e \Theta(s)s}{R + Ls} \quad (7)$$

• **Parte Mecánica**

$$T(t) = K_t i \quad (8)$$

$$T(t) = J \frac{d\dot{\theta}(t)}{dt} + b\dot{\theta}(t) \quad (9)$$

Reemplazando la ecuación 8 en la ecuación 9 se obtiene lo siguiente:

$$K_t i = J \frac{d\dot{\theta}(t)}{dt} + b\dot{\theta}(t) \quad (10)$$

Aplicando la transformada de Laplace a la ecuación anterior:

$$K_t I = J\Theta(s)s^2 + b\Theta(s)s \quad (11)$$

Reemplazando la ecuación 7 en la ecuación 11:

$$K_t \left[\frac{V(s) - K_e \Theta(s)s}{R + Ls} \right] = J\Theta(s)s^2 + b\Theta(s)s \quad (12)$$

$$K_t V(s) - K_t K_e \Theta(s)s = (J\Theta(s)s^2 + b\Theta(s)s)(R + Ls) \quad (13)$$

$$K_t V(s) = (J\Theta(s)s^2 + b\Theta(s)s)(R + Ls) + K_t K_e \Theta(s)s \quad (14)$$

$$K_t V(s) = \Theta(s)[(Js^2 + bs)(R + Ls) + K_t K_e s] \quad (15)$$

La función transferencia de un motor de CC sera de la forma:

$$G(s) = \frac{\Theta(s)}{V(s)} \quad (16)$$

Por lo que operamos con la ecuación 15 para obtener G(s):

$$\frac{V(s)}{\Theta(s)} = \frac{(Js^2 + bs)(R + Ls) + K_t K_e s}{K_t} \quad (17)$$

$$G(s) = \frac{\Theta(s)}{V(s)} = \frac{K_t}{(Js^2 + bs)(R + Ls) + K_t K_e s} \quad (18)$$

Nota: Se desconocen las constantes K_e y K_t , lo único que se conoce es que son aproximadas en valores, por lo que se considerará $K_t = K_e = K$.

$$G(s) = \frac{\Theta(s)}{V(s)} = \frac{K}{(Js^2 + bs)(R + Ls) + K^2s} \quad (19)$$

Siendo la anterior la función de transferencia de nuestro sistema, la cual se utilizará para constituir un sistema controlado por un PID.

4 Representación en MatLab

En la representación de la función transferencia se consideraron los polinomios del numerador y denominador:

$$num = K$$

$$den = (Js^2 + bs)(R + Ls) + K^2s$$

El archivo de MatLab se encuentra en el anexo, el cual da una respuesta a lazo abierto, como se muestra en la figura de abajo:

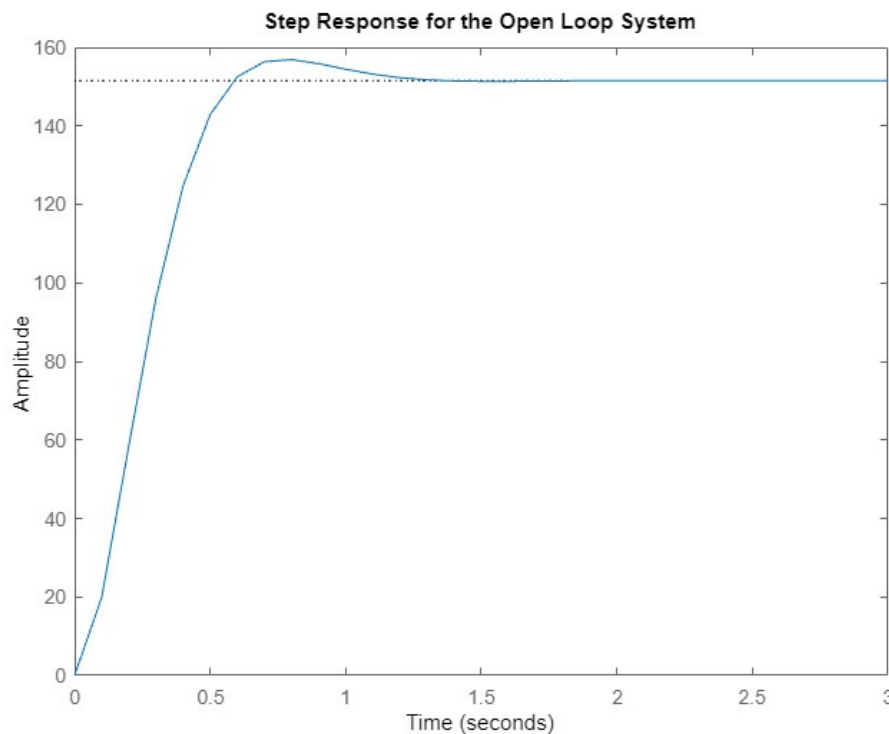


Figure 5: Respuesta a lazo abierto

Observar que a lazo abierto se obtiene un tiempo de establecimiento es aproximada-

mente de 2 segundos, lo cual para nuestro sistema es un tiempo excesivo y que deseamos mejorar. Por lo que a continuación se verá como responde el sistema con un controlador proporcional y otro PID.

5 Diseño del sistema de control de velocidad de un motor CC

Recordando las ecuaciones halladas anteriormente:

- **Función de transferencia:**

$$G(s) = \frac{\Theta(s)}{V(s)} = \frac{K}{(Js^2 + bs)(R + Ls) + K^2s} \quad (20)$$

- **Ecuación eléctrica de mi planta:**

$$V(s) = I(R + Ls) + k_e\Theta(s)s \quad (21)$$

- **Ecuación mecánica de mi planta:**

$$K_t I = J\Theta(s)s^2 + b\Theta(s)s \quad (22)$$

Siendo el diagrama en bloques del sistema el siguiente:

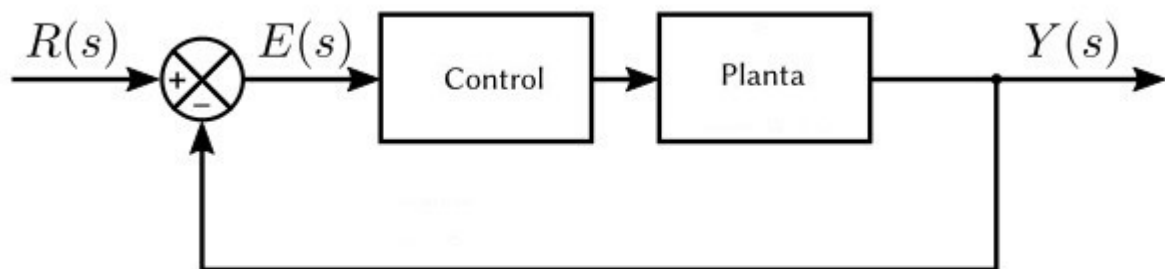


Figure 6: Diagrama en bloques

Antes de empezar con los tipos de controles debemos recordar que la transferencia de un PID es:

$$K_P + \frac{K_I}{s} + K_D \cdot s = \frac{K_D \cdot s^2 + K_P \cdot s + K_I}{s}$$

1. Control Proporcional

Lo primero que se nos ocurre es hacer que la señal de control sea proporcional al error entre la salida y el valor de referencia. Ejecutando el sistema en MatLab nos queda:

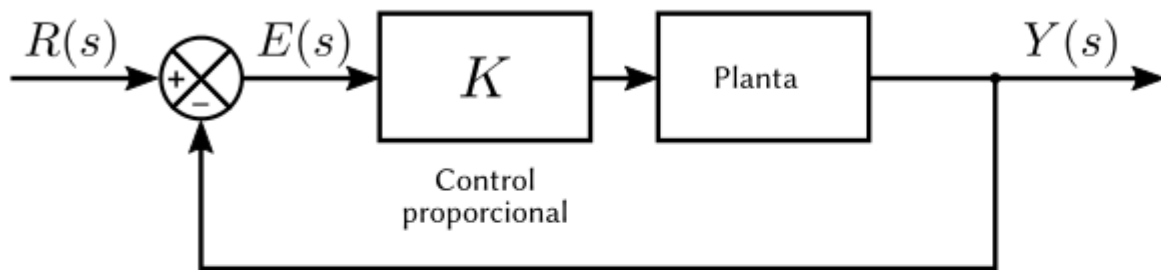


Figure 7: Diagrama en bloques del controlador proporcional

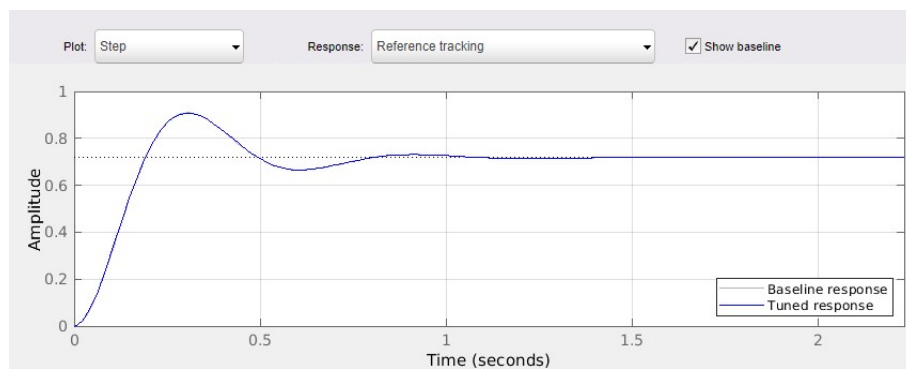


Figure 8: Respuesta con $K_p=0.016735$

Podemos observar que el tiempo de en llegar al estado estacionario ahora es de aproximadamente 1.4 segundo, logramos reducirlo, pero no se llegó al un valor óptimo

para nuestro motor. Para este gráfico MatLab nos dio un valor de $K_p=0.016735$, el mismo programa con la función pidTuner, nos permite variar este valor para obtener un mejor tiempo de respuesta, como se mostrará a continuación:

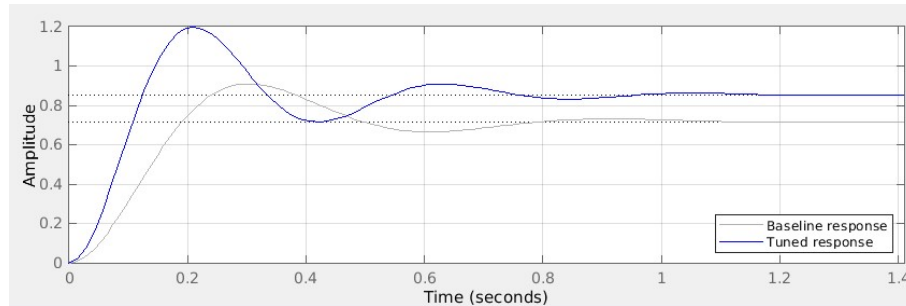


Figure 9: Respuesta con $K_p=0.038539$

Aquí se aumento el valor de a $K_p=0.038539$, obteniéndose un tiempo de estado estacionario de aproximadamente 1.15 segundos, se redujo el valor anterior pero no lo suficiente, por lo que si seguimos aumentando el valor de k_p el tiempo disminuirá, pero las perturbaciones en la amplitud aumentarán, por lo que un control proporcional no es un tipo de controlador adecuado para nuestro sistema, también se puede observar en gris, la respuesta del sistema con el K_p anterior. A continuación se harán los cálculos para un control PID, con el fin de obtener mejores resultados.

2. Control PID

Para solucionar el problema anterior se agrega un termino integral, para eliminar el error de estado estacionario, mientras que el termino derivativo, sintonizado de forma adecuada, se puede utilizar para reducir el sobre paso. Al igual que con el control proporcional, con MatLab, podemos obtener a partir de la planta los valores de K_p , K_i , K_d . Dichos valores son los siguientes, con su correspondiente gráfico:

$$K_P = 0.0145$$

$$K_I = 0.0606$$

$$K_D = 0.000867$$

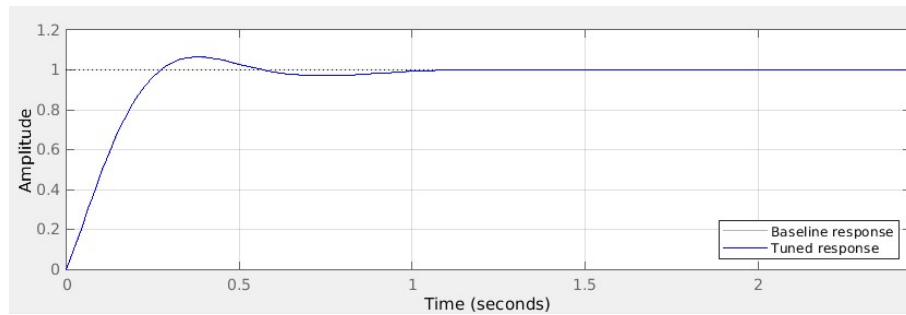


Figure 10: Respuesta del PID

Con la misma herramienta utilizada anteriormente, pidTuner, podemos variar los valores de las constantes, para mejorar la respuesta y así obtener un tiempo de respuesta mejor. Se puede observar que el tipo de respuesta es mucho menor que el del controlador proporcional modificado, es decir, inicialmente el controlador PID es más rápido para llevar mi planta al estado estacionario. Ahora modificaremos los valores del PID para ver si es posible obtener una mejor respuesta:

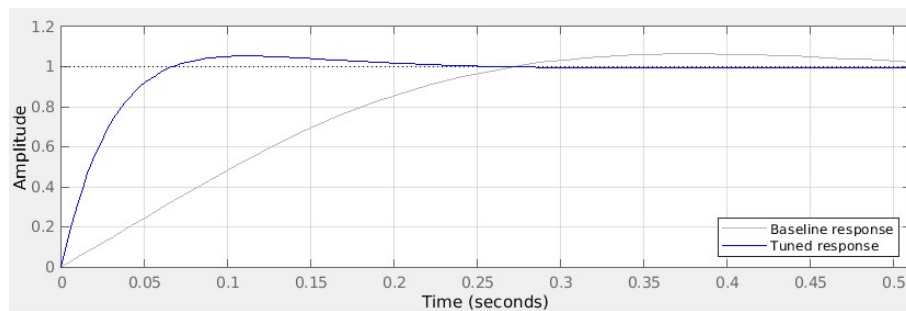


Figure 11: Respuesta del PID con sus valores modificados

Como se ve en la figura anterior, podemos observar que el tiempo se redujo bastante, ahora nuestra respuesta de estado estacionario está en aproximadamente 0.25 segundos, lo cual es un valor deseado y útil para controlar nuestra planta. Los valores de K_p , K_i , K_d resultantes del gráfico anterior son los siguientes:

Controller Parameters		
	Tuned	Baseline
K_p	0.10097	0.014505
K_i	0.35887	0.060634
K_d	0.0071028	0.00086748
T_f		

Figure 12: Respuesta del PID con sus valores modificados

6 Anexos

(a) Función de transferencia (MatLab)

```
J = 0.00005;
b = 0.00015319;
K = 0.0034;
R = 0.071;
L = 0.0127;
num = K;
den = [(J * L)((J * R) + (L * b))((b * R) + K^2)];
step(num, den, 0 : 0.1 : 3)
title('StepResponsefortheOpenLoopSystem')
```

(b) Control Proporcional (MatLab)

```
J = 0.00005;
b = 0.00015319;
K = 0.0034;
R = 0.071;
L = 0.0127;
num = K;
den = [(J * L)((J * R) + (L * b))((b * R) + K^2)];
Gp = tf((num), (den));
Gc = pidtune(Gp, 'P');
pidTuner(Gp, Gc)
```

(c) Control PID (MatLab)

```
J = 0.00005;
b = 0.00015319;
K = 0.0034;
```

$$R = 0.071;$$

$$L = 0.0127;$$

$$num = K;$$

$$den = [(J * L)((J * R) + (L * b))((b * R) + K^2)];$$

$$Gp = tf((num), (den));$$

$$Gc = pidtune(Gp, 'PID');$$

$$pidTuner(Gp, Gc)$$